

MODELAGEM DA ATMOSFERA

Equações Primitivas

1. Vento horizontal $\frac{DV_H}{Dt} = -2\Omega_z \times V_H - \frac{1}{\rho} \nabla_H p + F_H$
2. Equil hidrostático $0 = -\frac{1}{\rho} \frac{\partial p}{\partial z} - g$
3. da continuidade $\frac{D\rho}{Dt} = -\rho \nabla \cdot V$
4. da termodinâmica $c_v \frac{DT}{Dt} = -p \frac{D\alpha}{Dt} + Q$
5. do estado $p = \rho R T$
6. umidade do ar $\frac{Dq}{Dt} = Q'$

Equações diferenciais parciais não-lineares



Instituto Nacional de Pesquisas Espaciais

Modelagem Numérica (Introdução a PNT)

Chou Sin Chan

chou@cptec.inpe.br

III WorkEta

Cachoeira Paulista, 25 a 29 de outubro de 2010

Diferenças finitas

$$\Delta x, \Delta y: \text{resolução horizontal (grid length)}$$

$$x = i\Delta x$$

$$\frac{du}{dx} = \frac{u_{i+1} - u_i}{\Delta x}$$

Expansão em série de Taylor:

$$u(x + \Delta x) = u(x) + \frac{du}{dx} \Delta x + \frac{d^2 u}{dx^2} \frac{\Delta x^2}{2} + \frac{d^3 u}{dx^3} \frac{\Delta x^3}{6} + O(\Delta x^4) \quad (1)$$

$$u(x - \Delta x) = u(x) - \frac{du}{dx} \Delta x + \frac{d^2 u}{dx^2} \frac{\Delta x^2}{2} - \frac{d^3 u}{dx^3} \frac{\Delta x^3}{6} + O(\Delta x^4) \quad (2)$$

Derivada Primária (1-2):

$$u'(x + \Delta x) - u'(x - \Delta x) = 2 \frac{du}{dx} \Delta x + O(\Delta x^3) \quad (3)$$

$$\frac{du}{dx} = \frac{u(x + \Delta x) - u(x - \Delta x)}{2\Delta x} + O(\Delta x^2) \quad (4)$$

Derivada Segunda (1+2):

$$\frac{d^2 u}{dx^2} = \frac{u(x + \Delta x) - 2u(x) + u(x - \Delta x)}{\Delta x^2} \quad (5)$$

(Diferença centrada)

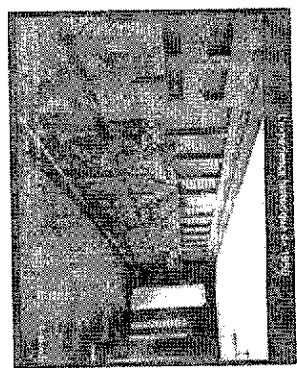
Diferenças finitas

Equação de Advecção:

$$\frac{\partial u}{\partial t} = -c \frac{\partial u}{\partial x} \quad u(x, t) = u_i^n \quad (1)$$

1945 - ENIAC - O 1o computador foi testado com modelo atmosférico.

1950 - Charney, Fjortoft, Von Neuman realizam a 1a. previsão numérica de tempo a partir da equação da vorticidade absoluta, previsão da altura geopotencial de 500mb.



1956 - Eliasen propõe a volta do sistema de equações utilizadas por Richardson (Eqs primitivas)

1966 - Previsão de tempo rodado em ambiente operacional.

Forward: $\frac{u_i^{n+1} - u_i^n}{\Delta t} = -c \left(\frac{u_{i+1}^n - u_{i-1}^n}{2\Delta x} \right) \quad (2)$

Leapfrog:

$$\frac{u_i^{n+1} - u_i^{n-1}}{2\Delta t} = -c \left(\frac{u_{i+1}^n - u_{i-1}^n}{2\Delta x} \right) \quad (3)$$

Backward:

$$\frac{u_i^{n+1} - u_i^n}{\Delta t} = -c \left(\frac{u_{i+1}^n - u_{i-1}^{n+1}}{2\Delta x} \right) \quad (4)$$

Upstream-Forward:

$$\frac{u_i^{n+1} - u_i^n}{\Delta t} = -c \left(\frac{u_i^n - u_{i-1}^n}{2\Delta x} \right) \quad (5)$$

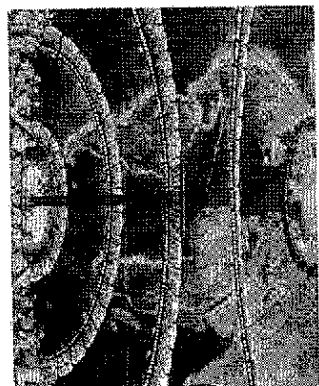
Condição de FSTABILIDADE NUMÉRICA: CFL < 1

CFL: Courant-Friedrichs-Levy

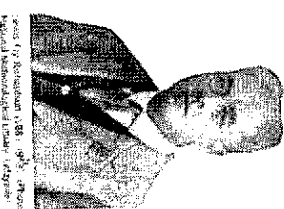
O passo de tempo, Δt , deve ser escolhido de forma que a variável dependente (u) seja advectada de uma distância menor que Δx no intervalo de tempo Δt .

O sonho de Richardson, 1922

Equações de previsão de tempo foram resolvidas por métodos numéricos.
Uma previsão de somente 6h resultou numa previsão irrealista.



64000 pessoas seriam necessárias para efetuar os cálculos para produzir uma previsão de tempo sobre o globo.



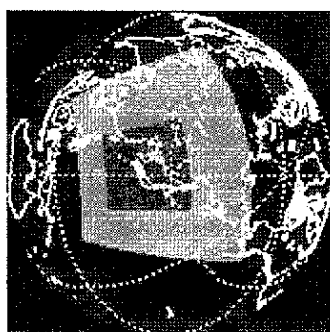
Lewis Fry Richardson 1881-1953
Meteorologista britânico

Hierarquia dos Modelos Numéricos Atmosféricicos

Global: Acompanhamento dos padrões de escala sinótica para todo o globo.

Regional: Aplicação semelhante aos modelos globais, mas com resolução maior sobre uma área limitada de interesse.

Mesoescala: Acrescenta detalhes aos padrões de escala sinótica previstos no modelo regional.



Interação entre os modelos



Etapas para produzir PNT

Observações

Pre-Processamento
controle de qualidade
(Previsão: T-6h ou T-12h)

Modelo Numérico Atmosférico
Código computacional (centenas de milhares de linhas de comando) que representa aproximações numéricas das equações matemáticas.
O cálculo é feito para alguns dias de previsão, uma estação do ano, vários anos, décadas, e para cenários de mudanças climáticas.

Análise
(assimilação de dados)

Modelo Numérico
→ condições de
contorno lateral

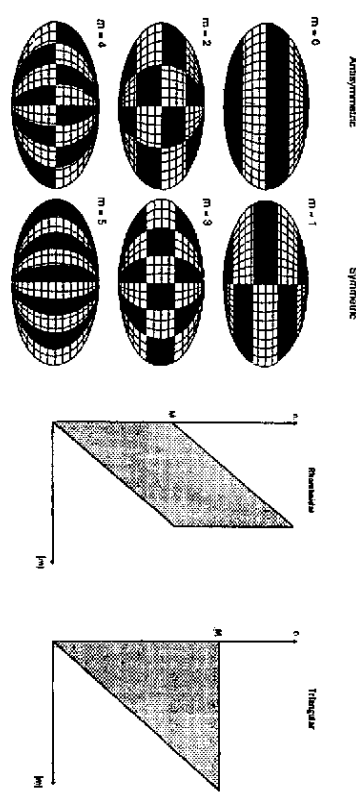
Pós processamento
Binarização

Banco de dados

Dominio Público
Meteorologistas

Aplicações específicas
Diversos usuários

Modelo Espectral

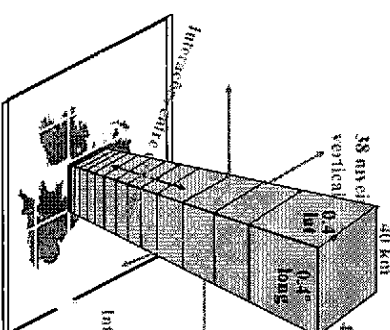


truncamento

O campo espacial é representado por uma série finita de harmônicos esféricos

Número de elementos:	119 x 211 x 38 = 954142
EW/NS Vertical	
Cálcula-se para cada um destes volumes:	
temperatura, umidade, direção e velocidade do vento, altura geopotencial	

Interações com a superfície



Assimilação de dados > Análises

- Verificação da acurácia dos dados: localização, sintaxe, erros grosseiros.

- Interpolação das observações (distribuídas irregularmente) em uma grade regular.

a = análise

p = previsão

o = observação

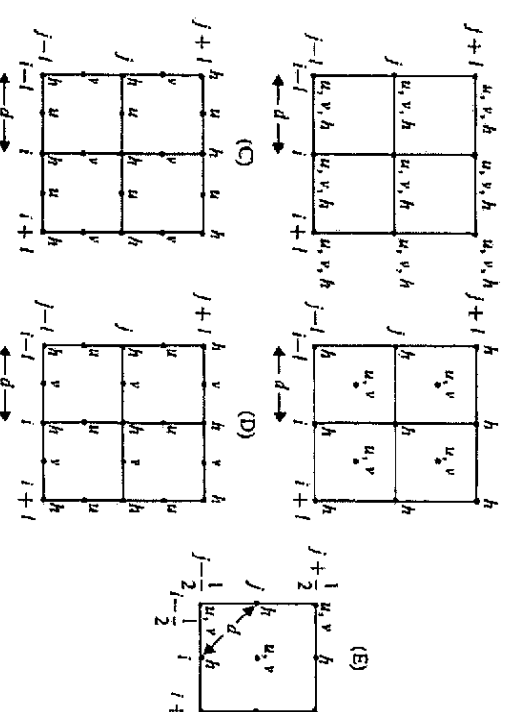
$$a = p + K(o - Lp)$$

$$L + K = I$$

L, K : pesos que indicam a acurácia da previsão e da observação

K : covariâncias de erros entre previsão e observação

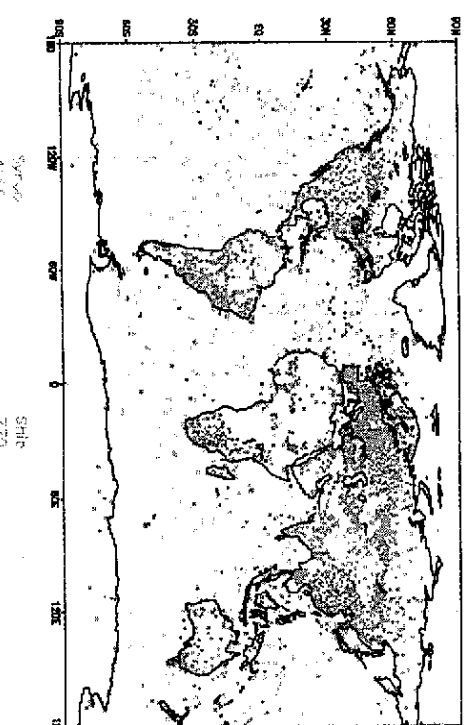
L : operador da observação



Grades propostas por Arakawa

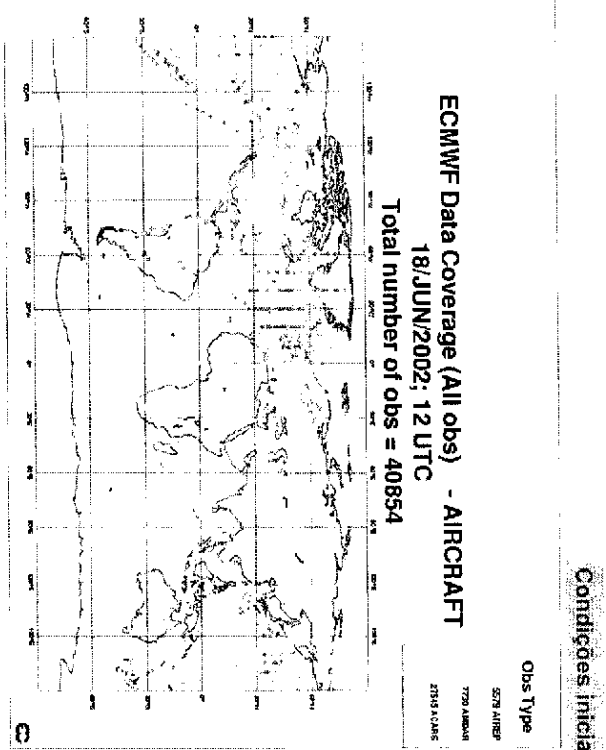
Dinâmica

ECMWF Data Coverage (All obs) - AIRCRAFT
18/JUN/2002; 12 UTC
Total number of obs = 40854



Condições iniciais

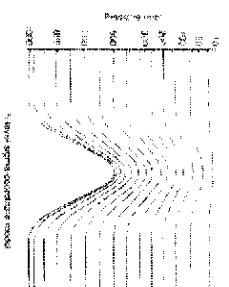
CPTEC Surface Observations on 12z 18 june 2002, ±3h
Distribuição dos dados Superfície 18 Jun 2002 12Z T-3h+3h



Coordenadas verticais

sigma

$$\sigma = \left(\frac{P - P_T}{P_S - P_T} \right)$$



$\eta = (0,1)$

$$P(i,j,k) = A_{kj}P_0 + B_{kj}P_S(i,j)$$

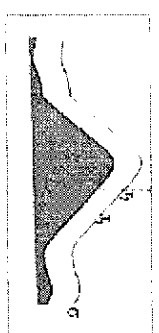
híbrida

Fig. 1.17 Coordenadas de pressão (sigma) e coordenadas híbridas (eta).

Coordenadas verticais

sigma

$$\sigma = \left(\frac{P - P_T}{P_S - P_T} \right)$$



$$\left(\frac{\partial T}{\partial x} \right)_z \approx \frac{\Delta T}{\Delta x} = \left(\frac{T_1 - T_2}{\Delta x} \right)_z$$

Desenvolvida por Mesinger (1984), para reduzir os erros no cálculos de derivadas horizontais próximas de montanhas, principalmente gradiente horizontal de pressão.

O topo das montanhas coincide com as superfícies de nível do modelo

$$\eta = \left(\frac{P - P_T}{P_S - P_T} \right) * \eta_S$$

$$\eta_s = \frac{P_{ref}(Z_s) - P}{P_{ref}(0) - P_T}$$

Grades propostos por Arakawa

A



D



C



E



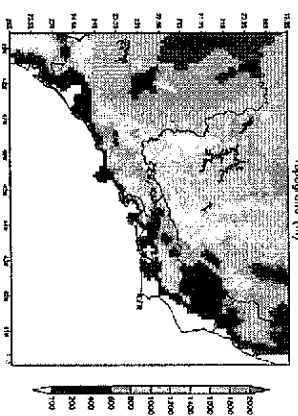
40 km

Modelo Regional (km) 40km



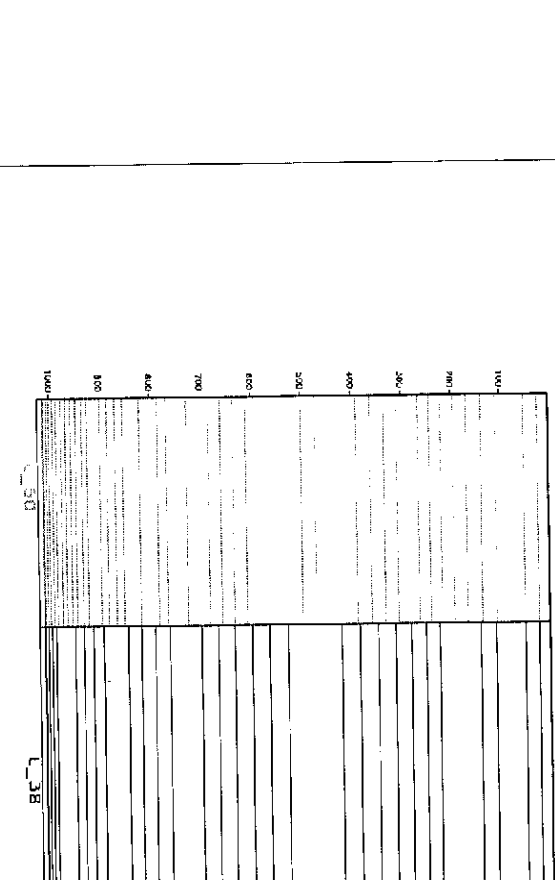
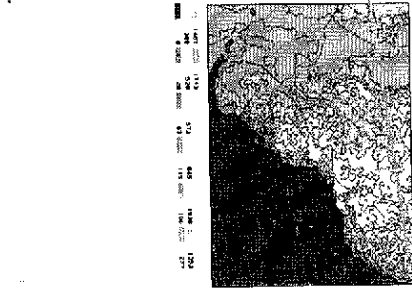
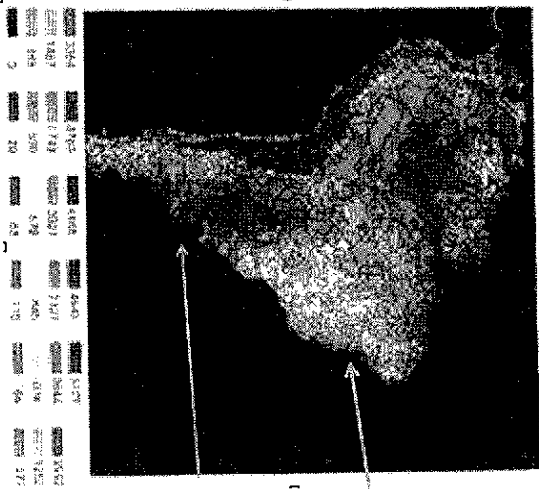
10 km

Modelo Regional (km) 10km



Escolha da resolução horizontal:
Impacto sobre a caracterização
da superfície

Step-topography



Um modelo numérico opera-se da:

1. Pré-processamento

Geração de **condições iniciais**, inicialização (controle das ondas de gravidade), SST, umidade do solo, albedo, etc.

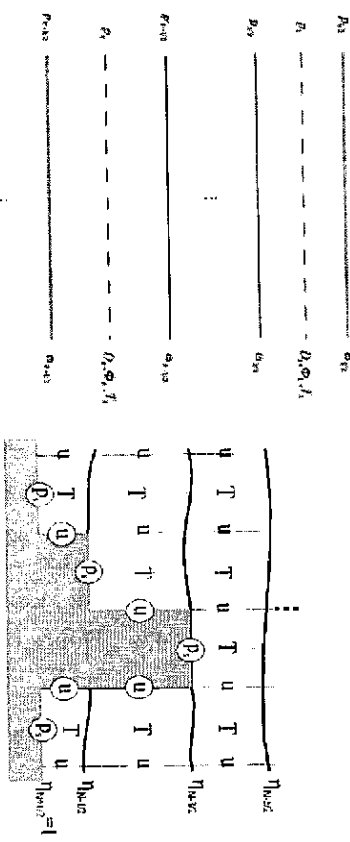
2. Dinâmica

Esquema de integração temporal

- Advecção horizontal
- Advecção vertical
- Termo de Coriolis
- Contorno lateral
- Difusão horizontal

Topografia e distribuição vertical de variáveis

Grade vertical de Lorenz



3. Física

Precipitação convectiva (esquema de convecção profunda e rasa)

Precipitação estratiforme (microfísica de nuvens),

Turbulência atmosférica (PBL)

Aquecimento/refriamento radiativo (esquema de radiação)

Transferência de água e energia na biosfera (esquemas de superfície)

4. Pós-processamento

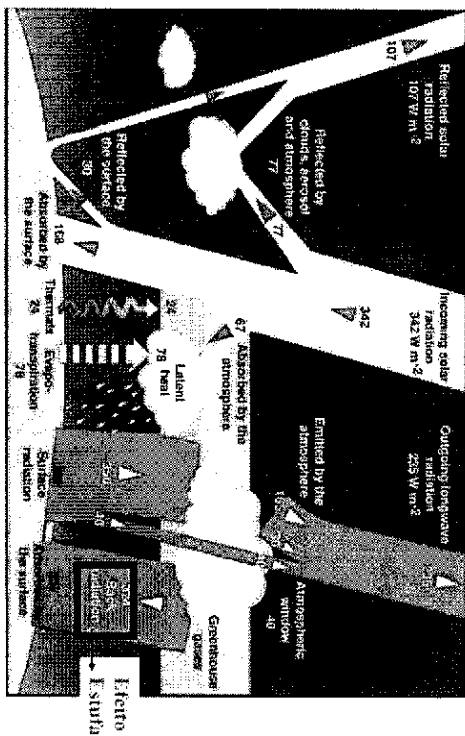
- Interpolação das variáveis do modelo para grade mais simples: lat/lon regular, níveis de pressão
- Cálculo de variáveis mais adequadas ao uso, ex: Pátria, círculo, \bar{u} , convergência de unidade, etc.

Parametrização de NUVENS ESTRATIFORMES (microfísica de nuvens)

- A precipitação de grande ocorre quando: $RH > RH_c$
- $RH < 100\%$: RH_c tende a 100% com o aumento da resolução do modelo;
- Única variável a ser prevista \Rightarrow taxa de mistura de nuvens de água/(gelo);

- As frações de nuvens calculadas nesse esquema são usadas na parametrização dos processos radiativos.
- Esquemas mais complexos incluem processos microfísicos das nuvens: neve, granizo, saraiva, etc. (versão prevista de tempo do Modelo Eta)

Zhao et al 1997



Reprinted by kind permission of the Earth Science I, Kluwer

Interação entre a radiação solar e a atmosfera

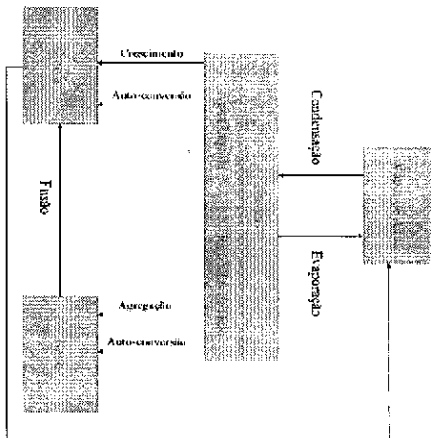
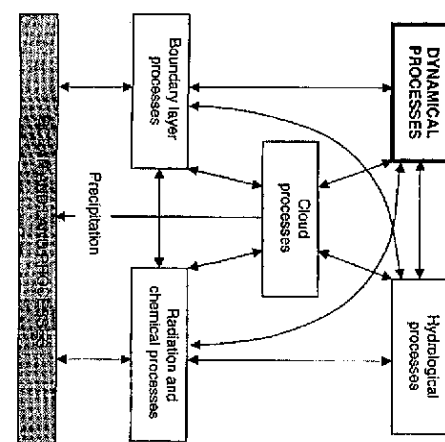
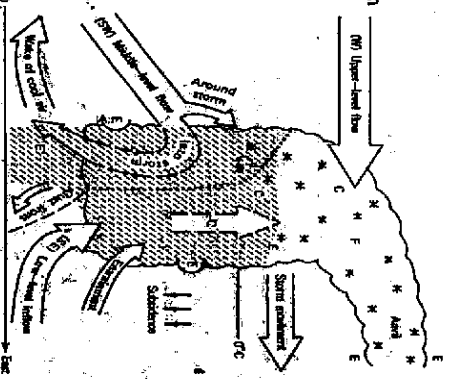


Figure 4.11: Physical processes in the atmosphere and their interactions. The dynamical processes for resolvable scales, in bold, are explicitly computed by the model "dynamics" (discussed in Chapters 2 and 3). The other subgrid-scale processes are parameterized in terms of the resolved-scale fields. (Adapted from Arakawa, 1997.)



Parametrização de NUVENS CUMULUS

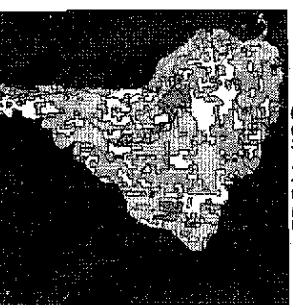
- Nuvens Cumulus podem se organizar em aglomerados e seus efeitos são percebidos na grade da resolução do modelo.
- Para o modelo a área ocupada pela nuvem é considerada grande o suficiente para conter o aglomerado, mas ainda pequeno em relação ao tamanho da grade do modelo.
- A grande escala instabiliza o ambiente, o esquema de convecção atua em remover a instabilidade convectiva.
- Os perfis de temperatura e umidade do modelo são alterados para perceber a atividade convectiva e produção de chuva.
- Os fluxos convectivos de umidade e calor são vistos a partir de médias numa área das equações da conservação de massa e do calor.



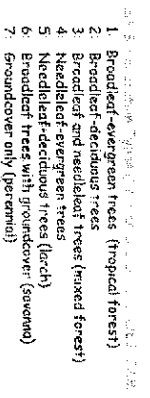
Vegetation types



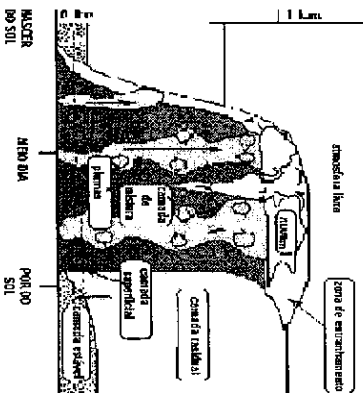
Land surface scheme maps



- Processos de transferência radiativa:
 - Ondas Curtas: reflexão, absorção, transmissão e espalhamento
 - Ondas Longas: ... + Emissão
 - Nuvens geradas pelo esquema de microfísica de nuvens
 - CO_2 , O_3 e Albedo climatológicos em modelos de curto prazo.
- Fluxos radiativos alteram o perfil de Temperatura

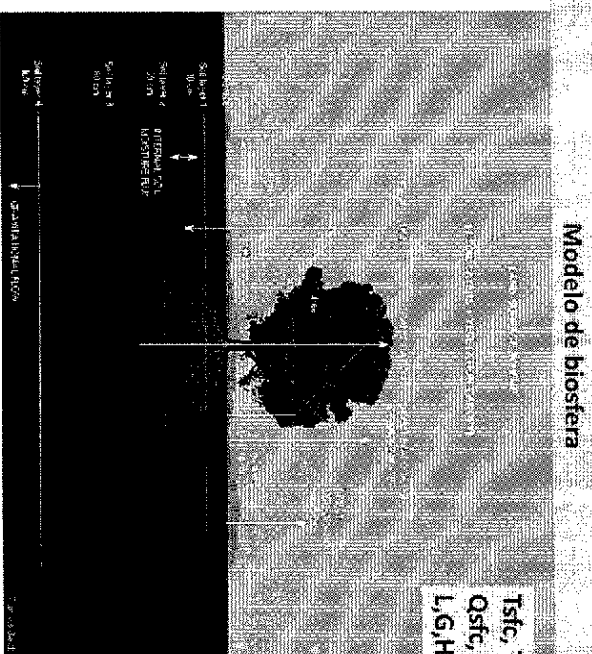


TURBULENCIA ATMOSFERICA



$T_{\text{stc}}, T_{\text{soil}}$
 $Q_{\text{fc}}, q_{\text{soil}}$
 L, G, H, Runoff

Modelo de bioterra



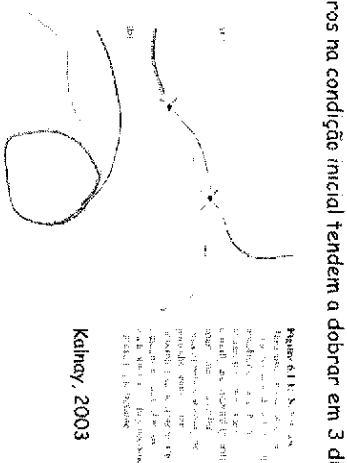
Previsibilidade

(Predictability of first kind)

- A natureza caótica do sistema atmosférico limita a nossa capacidade de prever com exatidão a evolução da atmosfera.

A previsão determinística (baseada em uma única realização) pode levar a resultados que divergem da realidade.

- Pequenos erros na condição inicial tendem a dobrar em 3 dias de previsão.



Kalnay, 2003



- MÉTODOS de GERAÇÃO da PREVISÃO POR CONJUNTO:**
- 1 - Diferentes perturbações nas condições iniciais;
 - 2 - Multi-model ensemble;
 - 3 - Diferentes perturbações em parâmetros do modelo.
 - 4. Diferentes condições de contorno lateral (RCMs)
 - O conjunto de integrações fornece um conjunto de cenários possíveis da projeção.
- A média do conjunto de simulações tende a reduzir os erros das simulações.

- Fatores que afetam a qualidade das simulações
- Diferenças entre qualidade das previsões do MM e HS
- Regimes meteorológicos (verão e inverno)
 - Densidade de dados
 - Método de assimilação de dados
 - Topografia, percentagem de oceanos e continentes
- Dificuldades nos trópicos
- Sensibilidade a estabilidade estática
 - Predomina a representação dos processos físicos como turbulência, convecção, radiação, processos de superfície, etc. Mais incertezas.

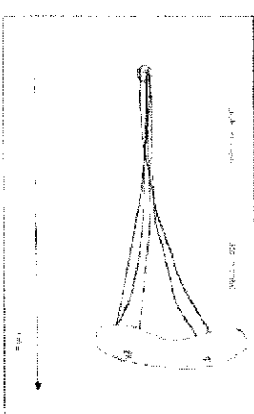
Esquemas de Turbulência

1. Monin-Obukhov - Canada superficial

2. Mellor e Yamada 2.5 - Prognóstico de TKE

$$\frac{d}{dt} \left(\frac{q^2}{2} \right) + \left(\frac{\partial}{\partial z} \right) \left[q S \left(\frac{\partial}{\partial z} \right) \frac{q^2}{2} \right] = P_S + P_b + \epsilon$$

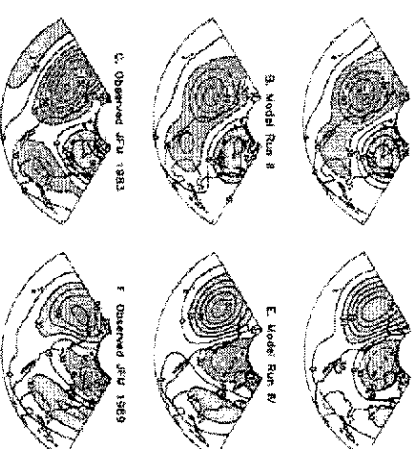
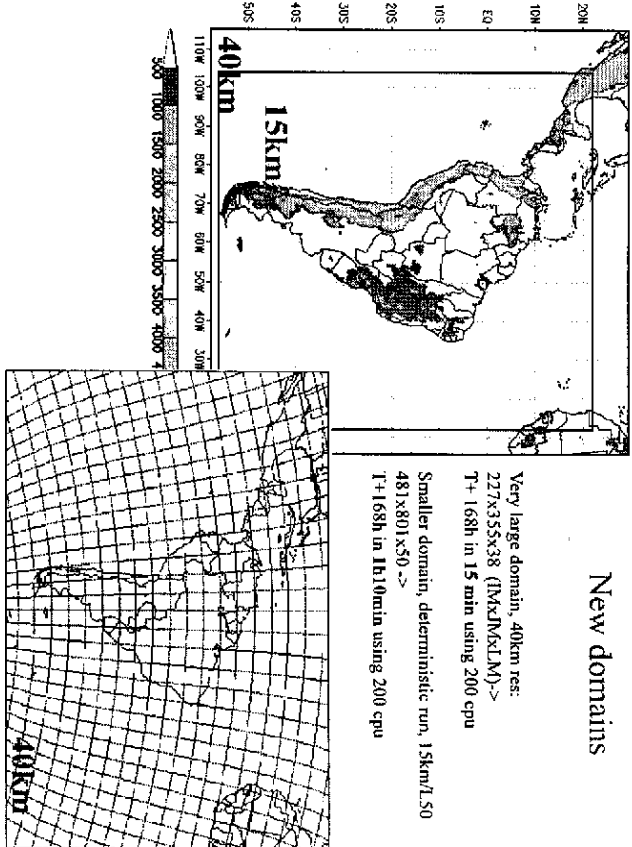
P_S = Produção de TKE por cisalhamento
 P_b = Produção de TKE por fluutabilidade
 K_M e K_H = coeficientes de troca turbulenta de momentum e calor
 ϵ = dissipação



10

Work in progress at CPTEC:

1. Increase horizontal and vertical resolutions, and domain
2. Increase the number of members in Short-range Ensemble forecasts and in seasonal forecasts. Inclusion of physics perturbation;
3. Forecasts from OGCM lateral boundary conditions, and coupling
4. Coupling with hydrological model of small catchment (DHSM)
5. Evaluation of BMJ scheme and its variations (precip efficiency, CAPE dependence)
6. Evaluation of Kain-Fritsch scheme and its variations (F fact, CMF)
7. Evaluation of 3 microphysics schemes: Zhao scheme, Ferrier scheme and Ristic scheme.
8. Evaluation of forecasts with initialized soil moisture
9. New Radiation scheme (Fulwards and Slingo 1996) with more gases and aerosols
10. Introduce refinement to Eta PBL turbulence parameterizations



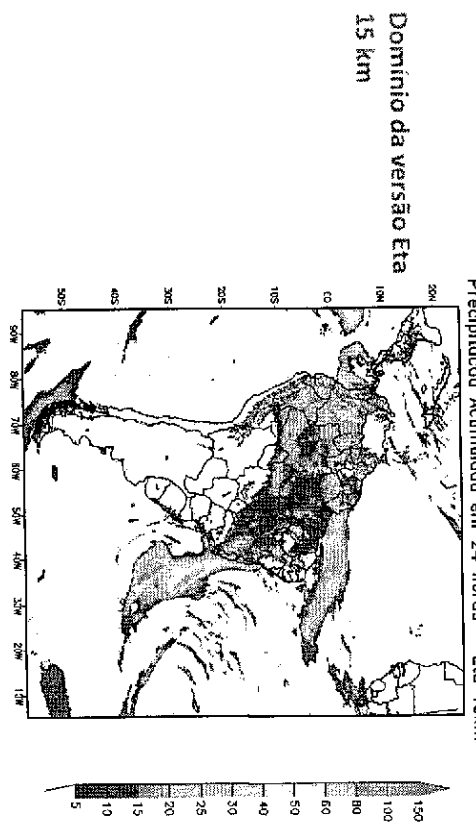
"Therefore, it should be possible to predict the large-scale tropical circulation and rainfall for as long as the ocean temperature can be predicted."

1. Sloping Eta
2. Vertical advection: Piecewise linear scheme
3. Liquid water included in Ps calculation
4. Cloud microphysics, Ferrier scheme
5. BMJ scheme, changes
6. KF scheme, changes
7. KF scheme, momentum fluxes
8. Increased mixing in 10-m wind
9. Output 50 and 100-m winds
10. Molecular layer over sea, changes
11. New soil map over South America

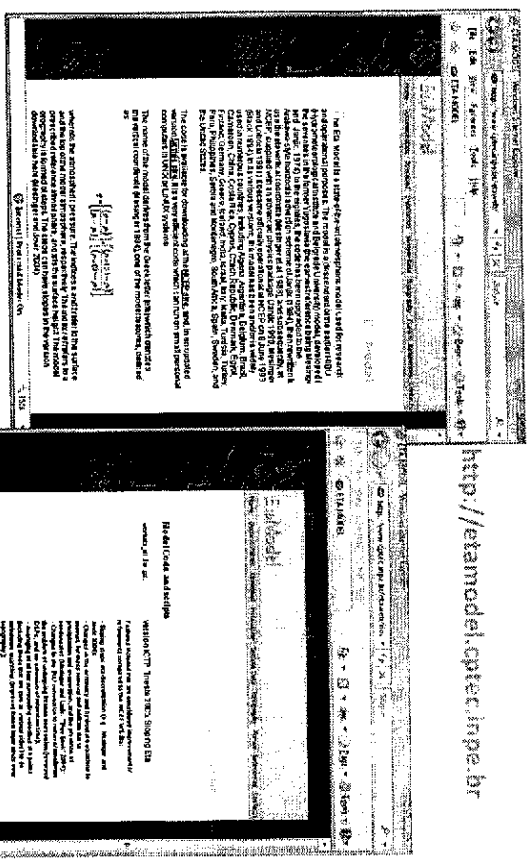
Predictability of Second Kind
Controle da TSM sobre o clima tropical

Predictability in the Midst of
Chaos: A Scientific Basis for
Climate Forecasting
(Shukla et al, 1998)

C1=2010040312 - FCT +72h - Eta 15km



<http://etamodel.cptec.inpe.br>



updates